

استفاده از شاخص‌های تن‌سنگی در طراحی معادلات پیشگوی تخمین چربی کل بدن جهت حذف اسکن دگزا از کل بدن

دکتر محمدرضا سلامت^۱، دکتر احمد شانئی^۲، مهدی عسگری^۳، امیرحسین سلامت^۴، مهری خوشحالی^۵

مقاله پژوهشی

چکیده

مقدمه: هدف از این مطالعه، پیش‌بینی کل بافت چربی با استفاده از متغیرهای تن‌سنگی (اندازه‌ی دور کمر، اندازه‌ی دور باسن، نسبت دور کمر به باسن، نسبت دور کمر به قد و شاخص توده‌ی بدنی) بود. مزیت این پیش‌بینی نسبت به اسکن دگزا از کل بدن، راحتی بیشتر بیمار، استفاده از دوز کمتر اشعه‌ی یونیزان و کاهش در هزینه‌ها می‌باشد.

روش‌ها: برای این مطالعه ۱۴۳ نفر از دیگسالان مراجعه کننده به مرکز تشخیص ترکیبات بدن و پوکی استخوان اصفهان، مورد اسکن با روش جذب اشعه‌ی ایکس با انرژی دوگانه (DEXA) یا Dual-energy X-ray absorptiometry (DXA) برای اندازه‌گیری بافت چربی کل بدن قرار گرفتند. همزمان مقادیر قد، وزن، اندازه‌ی دور کمر و باسن اندازه‌گیری شد و مقادیر شاخص توده‌ی بدنی، نسبت دور کمر به باسن و نسبت دور کمر به قد محاسبه گردید. مجموعه‌ی داده‌ها به صورت تصادفی به ۴۰ گروه شاملاً ۱۰۰ نفر و مورد شامل ۴۳ نفر تقسیم شدند و تحلیل رگرسیون چندگانه با حذف پسر و بر گروه مورد اعمال گردید. مقادیر پیش‌بینی برای کل افت چربی با استفاده از معادلات رگرسیونی حاصل بر روی داده‌های آزمون به دست آمد و در نهایت، مقادیر پیش‌بینی شده و مشاهده شده چربی کل بدن پیش‌بینی گردید.

یافته‌ها: با استفاده از روش رگرسیون چندگانه، بهترین مدل‌لری پیش‌بینی کل بافت چربی بدن شامل شاخص توده‌ی بدنی و جنسیت بود ($R^2 = 0.808$).

نتیجه‌گیری: جنسیت تأثیر مهمی در رابطه‌ی بین کل بافت چربی ساخص‌های تن‌سنگی دارد. همچنین شاخص توده‌ی بدنی نسبت به دیگر ساخص‌های تن‌سنگی، دارای توانایی بیشتری در تخمین کل بافت چربی بدن است.

وازگان کلیدی: شاخص تن‌سنگی، جذب اشعه‌ی ایکس با انرژی دوگانه

ارجاع: محمدرضا سلامت، شانئی احمد، عسگری مهدی، سلامت امیرحسین، خوشحالی مهری. استفاده از شاخص‌های تن‌سنگی در طراحی معادلات پیشگوی تخمین چربی کل بدن جهت حذف اسکن دگزا از کل بدن. مجله دانشکده پزشکی اصفهان ۱۳۹۳؛ ۳۲(۲): ۲۹۲-۲۹۳.

و اضافه وزن یک اختلال متابولیکی است که با افزایش چربی کل بدن افزایش می‌یابد و رابطه‌ی مستقیمی با خطر ابتلا به بیماری‌هایی نظیر فشار

مقدمه

در ایران همچون سایر کشورهای جهان چاقی و اضافه وزن در حال همه‌گیر شدن می‌باشد (۱). چاقی

۱- استادیار، گروه فیزیک و مهندسی پزشکی، دانشکده پزشکی و مرکز تحقیقات بیوسنسور، دانشگاه علوم پزشکی اصفهان و مرکز تشخیص پوکی استخوان و تعیین ترکیبات بدن اصفهان، اصفهان، ایران

۲- استادیار، گروه فیزیک و مهندسی پزشکی، دانشکده پزشکی، دانشگاه علوم پزشکی اصفهان، اصفهان، ایران

۳- دانشجوی دکتری، گروه فیزیک پزشکی، دانشکده پزشکی، دانشگاه علوم پزشکی اصفهان، اصفهان، ایران

۴- مرکز تشخیص پوکی استخوان و تعیین ترکیبات بدن اصفهان، اصفهان، ایران

۵- دانشجوی دکتری، گروه آمار زیستی و اپیدمیولوژی، دانشکده پهداشت، دانشگاه علوم پزشکی اصفهان، اصفهان، ایران

Email: m.mahdiasgari@yahoo.com

نویسنده‌ی مسؤول: مهدی عسگری

اگر چه دگزا توانایی تمایز بین چربی داخل بدنی و زیرجلدی را ندارد، اما مطالعات نشان داده است که رابطه‌ی خوبی بین چربی داخل بدنی به دست آمده از دگزا در ناحیه‌ی تنه با چربی داخل بدنی به دست آمده از روش CT و MRI وجود دارد (۹). دگزا دارای هزینه و دوز اندازی برای بیمار است؛ اما همین دوز انداز و زمان اسکن، از جمله محدودیت‌های این روش است که لزوم استفاده از شاخص‌های تن‌سنجد برای تخمین ترکیبات بدن را سبب می‌شود. زمان لازم در اسکن دگزا از کل بدن در حدود ۵ دقیقه می‌باشد، این زمان زیاد موجب محدودیت‌هایی از قبیل ثابت نگاه داشتن بیمار و در استفاده‌های مکرر سبب استهلاک و درگیری شدید لامپ اشعه‌ی X و دتکتور دستگاه می‌گردد. از طرفی می‌دانیم، صحبت از یک دوز مطمئن و بی‌خطر، غیر ممکن است و هر تابشی دوز مانند پایین همان‌طور که در روش دگزا نیز ام‌چنین است، خطرات اساسی تابش به بیمار سرطان‌زا و امراض ژنتیکی خواهد بود (۱۱).

با بررسی‌های به عمل آمده، در این زمینه در کشور مطالعه‌ای صورت مکرر است و عوامل متعددی مانند نژاد، تغذیه و ویژگی‌های وراثتی بر ترکیبات کل بدن و چگونگی توزیع چربی مؤثرند. از این رو، استفاده از معادلات پیشگویی کل بافت چربی بدن مربوط کشورهای دیگر که با ویژگی‌های نژادی و جغرافیایی ویژه‌ی آن جمعیت‌ها اعتباریابی شده‌اند، ممکن است برای ایرانیان و یا دیگر جوامع با خطا همراه باشد. از این رو در این مطالعه، بهترین معادلات پیشگوی برای پیش‌بینی کل بافت چربی با استفاده از شاخص‌های تن‌سنجد محاسبه شد.

خون، دیابت، سرطان و بیماری‌های قلبی-عروقی دارد (۲-۳). چاقی و اضافه وزن اغلب به وسیله‌ی (Body mass index) BMI یا شاخص توده‌ی بدنی (Body mass index) تعريف می‌شوند که البته این شاخص، توانایی در تمایز بین بافت چربی و بافت غیر چربی را ندارد (۴). این در حالی است که استفاده از شاخص‌های تن‌سنجد دیگر (اندازه‌ی دور کمر (WC) یا (Waist circumference)، اندازه‌ی دور باسن (HC) یا (hip circumference)، نسبت دور کمر به باسن (Waist-hip ratio) یا (WHR) یا عنوان (Waist-to-height ratio) WHtR) به شاخص توده‌ی بدنی برای بیان چاقی و اضافه وزن توصیه شده است (۵). برای مثال از متغیرهای اندازه‌ی دور کمر و اندازه‌ی دور باسن بیشتر برای بیان چگونگی توزیع چربی داخل بدن استفاده می‌شود (۶) و شاخص WHR، به طور گسترده برای تمایز توزیع مرکزی بافت چربی از توزیع محیطی آن، مورد استفاده قرار می‌گیرد (۷). با این وجود، پژوهشگران نشان داده‌اند که اندازه‌ی دور کمر شاخص بهتری برای بیان چربی احشا در مقایسه با WHR است (۷). توموگرافی کامپیوترا (CT) یا (Computed tomography) و روش تصویربرداری تشخیص مغناطیسی (MRI) یا (Magnetic resonance imaging) روش‌های اصلی در تعیین چگونگی توزیع بافت چربی در بدن هستند، اما دارای هزینه‌ی بالا و دریافت دوز زیاد (برای روش CT) می‌باشند. این در حالی است که اسکن دگزا، روشی ساده و دارای هزینه و دوز کمتری است و توانایی اندازه‌گیری ناحیه‌ای و کل ترکیبات بدن را دارد (۸).

۱۰۰ نمونه و گروه مورد شامل ۴۳ نمونه بود. به منظور برآورد معادلات پیش‌بینی با استفاده از گروه شاهد، رگرسیون خطی چندگانه با روش حذف پسرو انجام شد. رگرسیون خطی برای بافت چربی کل بدن بر اساس متغیرهای پیش‌گو (جنسیت، سن، اندازه‌ی دور باسن، اندازه‌ی دور کمر و شاخص توده‌ی بدنی) برآش داده شدند. مقادیر پیش‌بینی چربی کل بدن با استفاده از معادلات حاصل برای مجموعه‌ی آزمون محاسبه شد. در نهایت، مقادیر پیش‌بینی شده و مشاهده شده‌ی چربی کل بدن بر اساس (ضریب تعیین تعديل شده) R^2 و مجموع مربعات خط (Sum of squares for error SSE یا SSE) مقایسه شدند. آنالیز داده‌ها با استفاده از نرم‌افزار SPSS (version 20, SPSS Inc., Chicago, IL) انجام شد.

یافته‌ها

جدول ۱ انگین و انحراف معیار داده‌های مربوط به چربی کائیدنی دست آمده توسط دستگاه دگزا و متغیرهای تن‌سنگی جمعیت مورد مطالعه در هر دو گروه شاهد و مورد انشاد می‌دهد. بر اساس آزمون‌های t برای متغیر گستته و t برای متغیرهای پیوسته، هیچ تفاوت معنی‌داری بین متغیرهای این دو گروه مشاهده نشد ($P > 0.050$). ضریب همبستگی Pearson بین کل بافت چربی بدن و شاخص‌های تن‌سنگی در جدول ۲ مشاهده می‌شود، شاخص توده‌ی بدنی در جدول ۲ مقایسه با دیگر شاخص‌های تن‌سنگی دارای بیشترین ارتباط با چربی کل بدن می‌باشد. نتایج حاصل از تحلیل رگرسیون چندگانه با روش انتخاب متغیر از

روش‌ها

پژوهش حاضر یک بررسی مقطعی از ۱۴۳ نفر از زنان و مردانی است که به دستور پزشک معالج به منظور سنجش پوکی استخوان و بررسی احتمال خطر شکستگی استخوان به مرکز تشخیص ترکیبات بدن و پوکی استخوان اصفهان مراجعه نمودند. محدوده‌ی سنی افراد مورد مطالعه، ۴۰–۶۵ سال بود و افراد دارای شرایط پزشکی مزمن، مصرف کتدیگان سیگار و همچنین ورزشکاران از این مطالعه حذف شدند. این مطالعه به تأیید کمیته‌ی اخلاقی در پژوهش دانشگاه علوم پزشکی اصفهان رسید. اسکن دگزا از کل بدن به وسیله‌ی دستگاه نورلند مدل R-8۰۰ (R-8۰۰) انجام و آنالیز مقادیر به دست آمده توسط نسخه‌ی ۲/۴ نرم‌افزار نورلند (Norland software) انجام شد.

برای هر یک از نمونه‌ها، وزن با حداقل پمشن، با حساسیت ۰.۱ g و قد افراد با استفاده از متر نواری با دقت ۰/۱ cm در وضعیت ایستاده در کنار دیوار اندازه‌گیری شد. اندازه‌گیری دور باسن با متر نواری از ناحیه‌ای با بیشترین محیط و اندازه‌گیری دور کمر با متر نواری در دور محیط کمر در نقطه‌ای میانی بین پایین‌ترین دنده و تاج خاصره، به عبارت دیگر در حدود سطح ناف انجام شد. هنگام اندازه‌گیری، متر نواری باید به اندازه‌ی کافی کشیده شود، بدون آن که باعث چین خوردگی پوست گردد. شاخص توده‌ی بدنی با تقسیم وزن بر محدوده قدر حسب (kg/m^2) محاسبه گردید. شاخص‌های WHtR و WHtR نیز به ترتیب از تقسیم اندازه‌ی دور کمر به دور باسن و تقسیم اندازه‌ی دور کمر به قد محاسبه شد.

جمعیت مورد مطالعه به طور تصادفی به دو گروه شاهد و مورد تقسیم شدند که گروه شاهد شامل

آزمون محاسبه شد و با مقادیر واقعی به دست آمده از اسکن دگزا مقایسه گردید (جدول ۴). همان‌طور که در جدول ۴ مشاهده می‌شود، بر اساس معیارهای ضریب تعیین تعدل شده و مجموع مربعات خطأ از میان تمام معادلات پیشگو، بهترین مدل برای پیش‌بینی چربی کل بدن با $R^2 = 0.808$ و Adjusted SEE = ۵۸۲/۲۸ است:

متغیرهای جنسیت و شاخص توده‌ی بدنی می‌باشد.

شکل ۱، نمودار پراکنش مقادیر پیش‌بینی شده و مقادیر مشاهده شده برای گروه مورد را نشان می‌دهد که بیانگر وجود توافق بالا بین این مقادیر می‌باشد.

طریق حذف پسرو بر روی داده‌های گروه شاهد در جدول ۳ آمده است. برآژش انجام شده منجر به انتخاب متغیر جنسیت و شاخص توده‌ی بدنی برای پیش‌بینی کل بافت چربی شده است. معادلات پیشگو برای کل بافت چربی بدن در زیر آمده است:

$$\text{کل بافت چربی بدن} = 11/938 - 8/511 \times \text{شاخص توده‌ی بدنی} + 1/606 \times \text{جنسیت}$$

مقادیر پیش‌بینی کل بافت چربی بدن با استفاده از معادلات پیشگوی حاصل با ای مجموعه داده‌های

جدول ۱. پایه میانگین و انحراف استاندارد در دو گروه شاهد و مورد

مقدار P	گروه شاهد (n = 100)		۵۵ مورد (n = 100)		شاخص
	میانگین ± انحراف استاندارد				
۰/۱۸۵	۱۰۴/۱۹۰ ± ۱۶/۳۷۷		۱۰۰/۱۸۰ ± ۱۱/۶۳۹		اندازه‌ی دور بasn (cm)
۰/۸۸۵	۹۰/۹۸۰ ± ۱۴/۸۰۵		۹۴/۹۵۰ ± ۱۲/۶۶۸		اندازه‌ی دور کمر (cm)
۰/۰۸۰	۰/۲۳۰ ± ۰/۴۲۲		۰/۳۷۰ ± ۰/۴۸۹		جنسیت (زن = ۰ و مرد = ۱)
۰/۵۴۱	۴۷/۱۰۰ ± ۱۱/۱۷		۴۹/۰۰۰ ± ۱۱/۵۴۷		سن (سال)
۰/۸۴۹	۱۶۰/۲۴۰ ± ۹/۷۷۷		۱۶۰/۵۵۰ ± ۹/۳۱۵		قد (cm)
۰/۳۱۰	۷۱/۹۴۰ ± ۱/۲۱۱		۶۹/۶۵۰ ± ۱۲/۵۶۹		وزن (kg)
۰/۲۰۴	۲۸/۱۰۰ ± ۱/۰۰۵		۲۷/۰۰۰ ± ۴/۴۴۱		شاخص توده‌ی بدنی (kg/m^2)
۰/۰۵۴	۱/۲۱ ± ۰/۰۶۸		۲۷/۵۲۰ ± ۸/۶۲۱		کل بافت چربی بدن (kg)
۰/۱۹۱	۰/۷۰ ± ۰/۰۹۷		۰/۸۹۰ ± ۰/۰۹۴		نسبت دور کمر به بasn
۰/۷۷۶	۰/۵۷۰ ± ۰/۱۰۰		۰/۵۶۰ ± ۰/۰۷۹		نسبت دور کمر به قد

جدول ۲. ضریب همبستگی Pearson بین متغیرهای مستقل با وابسته برای تمام جمعیت مورد مطالعه

مقدار P	کل بافت چربی بدن		شاخص
	مقدار	نسبت دور کمر به بasn	
۰/۰۹۱	۰/۱۴۲		سن
< ۰/۰۰۱	-۰/۳۲۶		قد
< ۰/۰۰۱	۰/۶۰۲		وزن
< ۰/۰۰۱	۰/۸۴۸		شاخص توده‌ی بدنی
۰/۸۷۳	-۰/۰۱۴		نسبت دور کمر به بasn
< ۰/۰۰۱	۰/۶۱۵		نسبت دور کمر به قد
< ۰/۰۰۱	۰/۶۳۸		اندازه‌ی دور بasn
< ۰/۰۰۱	۰/۵۴۱		اندازه‌ی دور کمر

جدول ۳. نتایج حاصل از رگرسیون چندگانه با روش حذف پسرو برای گروه شاهد

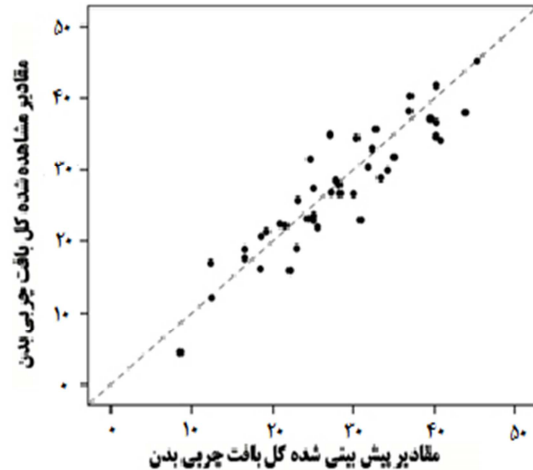
مقدار P	ضریب رگرسیونی	مجموع مربعات خطا (SSE)	ضریب تعیین تعدیل شده (Adjust R ²)	کل بافت چربی بدن (kg)
< 0.001	-11/938	1516/509	0.808	عرض از مبدأ
< 0.001	-8/511	-	-	جنسيت (زن = ۰ و مرد = ۱)
< 0.001	1/606	-	-	شاخص توده‌ی بدنی

جدول ۴. مقایسه عملکرد مدل‌ها در گروه مورد

کل بافت چربی بدن (kg)	ضریب تعیین تعدیل شده (Adjust R ²)	مجموع مربعات خطا (SSE)	مقدار P
مدل ۱: شاخص توده‌ی بدنی	0.680	999/42	
مدل ۲: اندازه‌ی دور باسن	0.219	2438/26	
مدل ۳: اندازه‌ی دور کمر	-0.078	3364/94	
مدل ۴: نسبت اندازه‌ی دور کمر به باسن	0.070	2904/39	
مدل ۵: نسبت اندازه‌ی دور کمر به باسن	-0.208	3772/12	
مدل ۶: شاخص توده‌ی بدنی، جنسیت	0.808	585/28	
مدل ۷: اندازه‌ی دور باسن، جنسیت	0.378	1894/74	
مدل ۸: اندازه‌ی دور کمر، جنسیت	0.388	1865/09	
مدل ۹: نسبت اندازه‌ی دور کمر به قد، جنسیت	0.335	2025/43	
مدل ۱۰: نسبت اندازه‌ی دور کمر به باسن، جنسیت	0.195	2452/94	

روش نوب و معنیبری برای تجزیه و تحلیل ترکیبات کل بدن می‌باشد (۱۲). سنجش ترکیبات بدن در پیش‌بینی میرهای قلبی- عروقی و به طور کلی مرگ و میره مورد استفاده قرار می‌گیرد. اندازه‌گیری‌های دقیق و صحیح از ترکیبات بدن در دستیابی به درک بهتر از چگونگی سوخت و ساز فیزیولوژیکی در شرایط مختلف درمانی و در ارزیابی میزان مداخلات مفید می‌باشد (۱۳).

از محدودیت‌های روش دگزا می‌توان به ناراحتی بیمار مبنی بر تحمل وضعیت خاص حین اسکن، هزینه‌ی به نسبت بالا و دریافت اشعه‌ی یونیزان اشاره کرد. در مقایسه با این روش، ساده‌ترین و کم هزینه‌ترین راه برای بیان چاقی و اضافه وزن، استفاده از شاخص‌های تن‌سننجی است؛ چرا که استفاده‌ی



شکل ۱. نمودار پراکنش بین مقادیر پیش‌بینی شده و مشاهده شده برای کل بافت چربی برای گروه مورد

بحث

تصویربرداری به روش دگزا به طور گسترده در سنجش پوکی استخوان مورد استفاده قرار می‌گیرد، اما

توانایی ضعیفی در پیش‌بینی کل بافت چربی بدن نشان دادند.

در مطالعات گذشته، از سن به عنوان یک متغیر در معادلات پیشگویی کل بافت چربی استفاده شده است (۱۲)، اما نتایج این مطالعه نشان می‌دهد که سن به عنوان یک متغیر پیشگو در پیش‌بینی کل بافت چربی بدن کاربرد ندارد.

نتایج حاصل از این مطالعه نشان می‌دهد که امکان تخمین کل بافت چربی بدن به روشهای ساده و ارزان با استفاده از معادلات پیشگو امکان پذیر است و می‌تواند سبب کاهش هزینه‌های اضافی، راحتی بیشتر و کمتر قرار گرفتن بیمار در معرض تابش اشعه شود. بنابراین توصیه می‌شود بررسی‌های بیشتر جهت پیش‌بینی مقادیر کل بافت چربی بدن با استفاده از شاخص‌های تن‌سننجی، روی نمونه‌هایی از سراسر سور اجرا شود. اگر چه همچنان بهترین روش در محاسبه کل بافت چربی بدن، استفاده از اسکن دگزا انقلابی خواهد بود.

تشکر و قدردانی

بدین‌وسیله از معاشرت حقیقت و فناوری دانشگاه علوم پزشکی اصفهان حیث تأمین مالی این پژوهش تشکر و قدردانی می‌گردد. همچنین از مدیریت مرکز تشخیص پوکی استخوان و تعیین ترکیبات بدن اصفهان و نیز سرکار خانم منصوره اعرابی که ما را در انجام این پژوهش یاری نمودند سپاسگزاری می‌نماییم.

گستردگی از اسکن دگزا، امری غیر ممکن است. مطالعات گذشته نشان داده است که شاخص توده‌ی بدنی، بهترین شاخص نسبت به دیگر شاخص‌های تن‌سننجی برای پیش‌بینی کل بافت چربی بدن است (۱۴). در این مطالعه، معادلات جهت پیش‌بینی ترکیبات کل بدن با استفاده از مدل رگرسیون چندگانه با روش حذف پسرو تعیین شدند و بر مبنای معیارهای ضریب تعدیل شده و مجموع مربعات خطای مورد ارزیابی قرار گرفتند.

بر اساس نتایج به دست آمده، جهت پیش‌بینی کل بافت چربی بدن، شاخص توده‌ی بدنی به همراه جنسیت به عنوان بهترین شاخص نسبت به دیگر شاخص‌های تن‌سننجی تعیین شد. با وجود سادگی تعریف و مطالعات گستردگی در خصوص این شاخص توده‌ی بدنی با عوارض مربوط به شاهد شواهدی دال بر اشتباه در دسته‌بندی خطر در برخی افراد (کودکان و ورزشکاران) موجود می‌باشد (۱۵). برای مثال شاخص توده‌ی بدنی، توانایی تشخیص تفاوت بین افزایش وزن توده‌ی عضلاتی در ورزشکاران از چافی را ندارد و همچنین چگونگی توزیع وزن اضافی را نیز نمی‌تواند بیان کند. از این‌رو، مطالعات بیشتری لازم است تا تأثیر شاخص توده‌ی بدنی را در پیش‌بینی کل بافت چربی در دو گروه کودکان و ورزشکاران (که از جمعیت مورد مطالعه‌ی حاضر حذف شده بودند) بررسی کند. اگر چه استفاده از شاخص‌های HC، WHR، WC و WHtR در تخمین چگونگی توزیع چربی مفید می‌باشدند (۶)، اما در این مطالعه این شاخص‌ها

References

1. Chen ZA, Roy K, Gotway Crawford CA. Obesity prevention: the impact of local health departments. *Health Serv Res* 2013; 48(2 Pt 1): 603-27.
2. Hodge AM, Zimmet PZ. The epidemiology of obesity. *Baillieres Clin Endocrinol Metab* 1994; 8(3): 577-99.
3. Pongchayakul C, Kosulwat V, Rojroongwasinkul N, Charoenkiatkul S, Thepsuthammarat K, Laopaiboon M, et al. Prediction of percentage body fat in rural thai population using simple anthropometric measurements. *Obes Res* 2005; 13(4): 729-38.
4. Zimmet P, Caterson I. The Asia-pacific perspective: redefining obesity and its treatment. Sydney, Australia: Health Communications Australia Pty Ltd; 2000.
5. Lee CM, Huxley RR, Wildman RP, Woodward M. Indices of abdominal obesity are better discriminators of cardiovascular risk factors than BMI: a meta-analysis. *J Clin Epidemiol* 2008; 61(7): 646-53.
6. Taylor RW, Brooking L, Williams SM, Manning PJ, Sutherland WH, Coppel KJ, et al. Body mass index and waist circumference cutoffs to define obesity in indigenous New Zealanders. *Am J Clin Nutr* 2010; 92(2): 390-7.
7. Roche AF, Heymsfield SB, Lohman TG. Human body composition. Champaign, IL: Human Kinetics Publishers; 1996.
8. Goulding A, Taylor RW, Gold E, Lewis NJ. Regional body fat distribution in relation to pubertal stage: a dual-energy X-ray absorptiometry study of New Zealand girls and young women. *Am J Clin Nutr* 1996; 64(4): 546-51.
9. Taylor RW, Jones IE, Williams SM, Goulding A. Evaluation of waist circumference, waist-to-hip ratio, and the conicity index as screening tools for high trunk fat mass, as measured by dual-energy X-ray absorptiometry, in children aged 3-19 y. *Am J Clin Nutr* 2000; 72(2): 490-5.
10. Boudousq V, Kotzki PO, Dinten JM, Barrau C, Robert-Coutant C, Thomas E, et al. Total dose incurred by patients and staff from BMD measurement using a new 2D digital bone densitometer. *Osteoporos Int* 2003; 14(3): 263-9.
11. Njeh CF, Fuerst T, Hans D, Blake GM, Genant HK. Radiation exposure in bone mineral density assessment. *Appl Radiat Isot* 1999; 50(1): 215-36.
12. Leslie WD. Prediction of body composition from spine and hip bone densitometry. *J Clin Densitom* 2000; 3(2)(4): 428-33.
13. Albanese CJ, Diessel E, Genant HK. Clinical applications of body composition measurements using DXA. *J Clin Densitom* 2003; 6(2): 75-85.
14. Lei SF, Liu MY, Chen XD, Deng FY, Lv JH, Jian WX, et al. Relationship of total body fatness and five anthropometric indices in Chinese aged 20-40 years: different effects of age and gender. *Eur J Clin Nutr* 2006; 60(4): 511-8.
15. Litwin SE. Which measures of obesity best predict cardiovascular risk? *J Am Coll Cardiol* 2008; 52(8): 616-9.

Using Anthropometric Indices Predictive Equations for Estimating Whole-Body Fat Mass Instead of Whole Body DXA Scan

Mohammad Reza Salamat PhD¹, Ahmad Shafei PhD², Mahdi Asgari MSc³,
Amirhossein Salamat MSc⁴, Mehri Khoshhali MSc⁵

Original Article

Abstract

Background: This study has been designed to predict whole-body fat mass by various anthropometric indices (waist circumference (WC), waist-to-height ratio (WHR), hip circumference (HC), waist-to-hip ratio (WHR) and body mass index (BMI)). Cost and radiation dose reduction are the advantages of this prediction compared to whole body DXA scan.

Methods: For this study, whole-body composition was measured with dual-energy X-ray Absorptiometry (DXA) for 143 adult patients who referred to Isfahan Osteoporosis Diagnosis Center. Values of weight, height, waist and hip circumferences were measured and BMI, waist-hip ratio and waist-to-height ratio was calculated. Datasets were split randomly into two parts, the derivation set with 100 subjects and validation set with 43 subjects. Multiple regression analysis with back ward stepwise elimination procedure was used for derivation set and then the estimates were compared with the actual measurements.

Findings: Using multiple linear regression analyses, the best equation for predicting whole-body fat mass ($R^2=0.808$) included BMI and gender.

Conclusion: The present study showed that BMI is the best anthropometric predictor of whole-body fat mass (adjusted $R^2 = 0.680$ and SSE = 999.42).

Keywords: Dual-energy X-ray absorptiometry (DXA), Anthropometry

Citation: Salamat MR, Shafei A, Asgari M, Salamat AH, Khoshhali M. **Using Anthropometric Indices Predictive Equations for Estimating Whole-Body Fat Mass Instead of Whole Body DXA Scan.** J Isfahan Med Sch 2014; 32(292): ??.

1- Assistant Professor, Department of Medical Physics and Medical Engineering, School of Medicine AND Biosensor Research Center, Isfahan University of Medical Sciences AND Isfahan Osteoporosis Diagnosis and Body Composition Center, Isfahan, Iran

2- Assistant Professor, Department of Medical Physics and Medical Engineering, School of Medicine, Isfahan University of Medical Sciences, Isfahan, Iran

3- PhD Student, Department of Medical Physics and Medical Engineering, School of Medicine, Isfahan University of Medical Sciences, Isfahan, Iran

4- Isfahan Osteoporosis Diagnosis and Body Composition Center, Isfahan, Iran

5- PhD Student, Department of Biostatistics and Epidemiology, School of Health, Isfahan University of Medical Sciences, Isfahan, Iran

Corresponding Author: Mahdi Asgari MSc, Email: m.mahdiasgari@yahoo.com